

2022-10-29

基础物理学 2 半期辅导讲义

作者：未央书院 鲁睿 潘佳铭 解奕扬

指导教师 陈少敏

$$\frac{1}{R} + \frac{1}{b} = \frac{k\lambda}{\rho^2}$$

目 录

| | |
|----------------------------------|-----------|
| 第一章 几何光学 | 1 |
| 1.1 临界光线 | 1 |
| 1.2 光学仪器 | 2 |
| 第二章 波动光学 | 3 |
| 2.1 干涉 | 3 |
| 2.1.1 杨氏双缝及其变形 | 3 |
| 2.1.2 薄膜干涉和迈克尔逊干涉仪 | 4 |
| 2.2 衍射 | 5 |
| 2.2.1 半波带法 | 5 |
| 2.2.2 振幅矢量法 | 7 |
| 2.2.3 多缝干涉和艾里斑 | 8 |
| 2.3 偏振 | 9 |
| 2.3.1 菲涅尔反射折射公式 | 9 |
| 2.3.2 双折射和 $\frac{\lambda}{4}$ 片 | 12 |
| 2.3.3 旋光性 | 13 |
| 2.4 色散 | 14 |
| 2.4.1 相速度、群速度 | 14 |
| 2.4.2 柯西公式 | 15 |
| 第三章 量子物理 | 16 |
| 3.1 康普顿散射 | 16 |
| 3.2 普朗克黑体辐射 | 17 |
| 3.3 波函数、算符和对易性 | 17 |

¹本讲义 [L^AT_EX 源代码](#) (github 仓库, 如果觉得有帮助, 麻烦点个 Star), 访问个人博客下载[本讲义最新版本](#)

1

几何光学

1.1 临界光线

性质 1.1 最小偏向角

当一束光在顶角为 α 、折射率为 n 的三棱镜中发生两次折射时，其偏向角有极小值，当入射角和出射角相等时取极小值，最小偏向角 满足的方程如下

$$n \sin\left(\frac{\alpha}{2}\right) = \sin\left(\frac{\delta_{\min} + \alpha}{2}\right)$$

$$n_1 \sin i_1 = n_2 \sin i_2$$

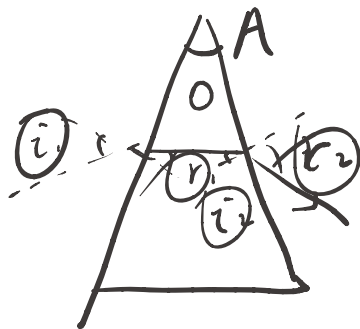
该性质的一个直观想法是，由于光路可逆原理，对称角附近偏离相同角度时互为可逆光，总偏向角不变，故为极值，至于是极大值还是极小值需要计算二阶导数

证明. 设第一次折射对应的入射角和出射角分别为 i_1, r_1 ，第二次折射对应的入射角和出射角分别为 i_2, r_2 ，有几何关系 $\frac{\pi}{2} - r_1 + \frac{\pi}{2} - i_2 + A = \pi$ ，总偏折角度

$$\Delta = i_1 - r_1 + r_2 - i_2 = i_1 + r_2 - A$$

由折射定律关系 $\sin i_1 = n \sin r_1, n \sin i_2 = \sin r_2$ ，将总偏折角度转换为 r_1 的函数

$$\Delta(r_1) = \arcsin(n \sin r_1) + \arcsin(n \sin(A - r_1)) - A$$



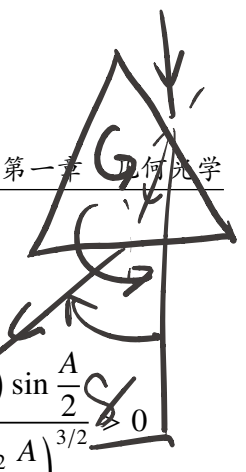
$$r_1 = \frac{A}{2} \quad f'(r_1) = 0$$

$$f''$$



上述函数关系具有对称性 $\Delta(r_1) = \Delta(A - r_1)$ ，在 $r_1 = \frac{A}{2}$ 处求二阶导

$$\left. \frac{d^2 \Delta}{dr_1^2} \right|_{r_1 = \frac{A}{2}} = \frac{n(n^2 - 1) \sin r_1}{(1 - n^2 \sin^2 r_1)^{3/2}} + \frac{n(n^2 - 1) \sin(A - r_1)}{(1 - n^2 \sin^2(A - r_1))^{3/2}} = \frac{2n(n^2 - 1) \sin \frac{A}{2}}{(1 - n^2 \sin^2 \frac{A}{2})^{3/2}}$$



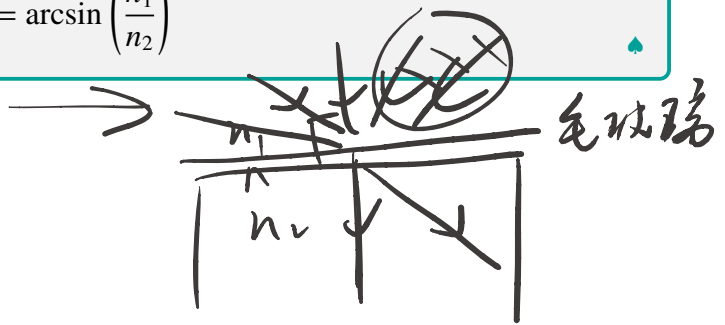
从而对应极小值，代表最小偏向角。 □

性质 1.2 掠入射

光从折射率为 n_1 的介质均匀地射入折射率为 n_2 的介质时 ($n_1 < n_2$)，出射临界角

$$\theta_c = \arcsin\left(\frac{n_1}{n_2}\right)$$

由折射定律以及 $\sin i_1 \leq 1$ 易证。

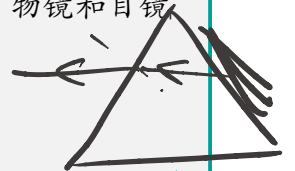


1.2 光学仪器

性质 1.3 显微镜

设显微镜的光学筒长 $\Delta = d - f_O - f_E$ ，人眼明视距离为 $s_0 (\approx 25 \text{ cm})$ ，物镜和目镜的焦距为 f_O 和 f_E ，其角放大率为

$$M = \frac{\Delta s_0}{f_O f_E}$$

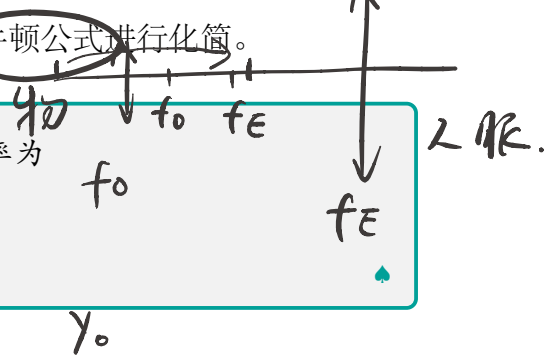


证明中约定物体成像在明视距离，并使用凸透镜的牛顿公式进行化简。

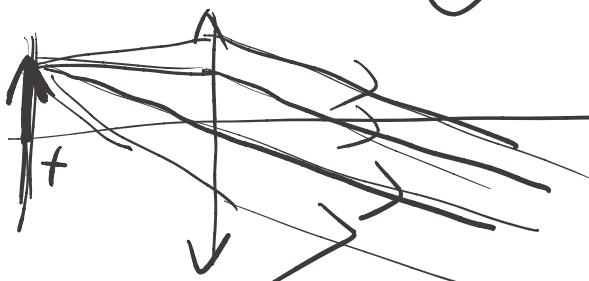
性质 1.4 望远镜

设望远镜的物镜和目镜的焦距为 f_O 和 f_E ，则角放大率为

$$M = \frac{f_O}{f_E}$$



证明. 使用凸透镜焦平面的特性，当平行光入射至凸透镜时 (可以倾斜)，其汇聚于焦平面上的一点 (即焦平面上的点共轭于无穷远)，设汇聚点距离光轴为 d ，则视场角度和原始角度之比为放大率 $M = \frac{d/f_E}{d/f_O} = \frac{f_O}{f_E} > 1$ $f_O > f_E$ □



2

波动光学

2.1 干涉

2.1.1 杨氏双缝及其变形

性质 2.1 经典杨氏双缝

当一束光经过两个相距为 d (d 很小) 的小孔之后, 在距离小孔为 D 的干涉屏上出现干涉条纹, 其间距为

$$\Delta x = \frac{D}{d} \lambda$$

$$\lambda \rightarrow \frac{D}{d}$$

从公式上看, 相当于把波长放大 $\frac{D}{d}$ 倍, 这是一种最典型的分波前干涉的方法。

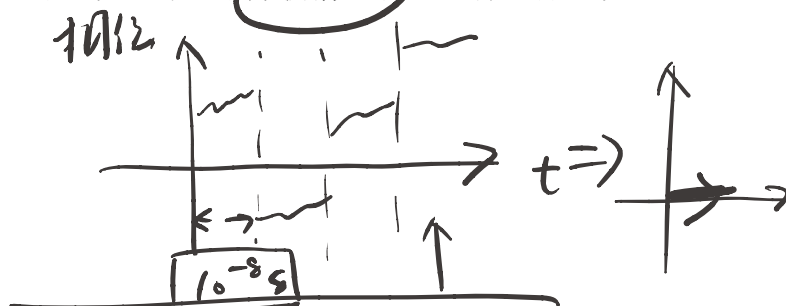
性质 2.2 杨氏双缝变形

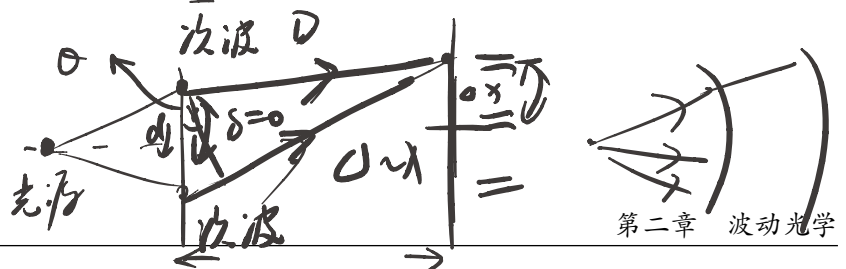
各种杨氏双缝变式本质上也是两个点光源进行干涉, 只是前者更加直接

| 干涉名称 | 等效 d | 等效 D |
|------|-------------------------|-------------------------|
| 双棱镜 | 虚光源距离 $2s_1(n-1)\alpha$ | 虚光源与干涉平面的间距 $s_1 + s_2$ |
| 劳埃镜 | 光源与镜面像距离 $2d$ | 光源与干涉平面的间距 D |
| 对切透镜 | 两个半透镜成像距离 $2y'$ | 成像平面与干涉平面的间距 $L - v$ |

以上都是将光束分成两束不同的子波进行干涉, 都属于分波前干涉, 还有一种干涉类型为分振幅干涉。

现代





定义 2.3 干涉类型

- ▶ 分波前法：让光波通过并排的两个小孔或利用反射和折射方法，把光波的波前分割出两个部分（本质上是惠更斯原理），形成两个次波重新叠加发生干涉；
- ▶ 分振幅法：利用光在介质表面分割产生两个反射光或两透射光波（反射和透射如何分配，本质上是菲涅尔衍射公式），两者走过不同的光程，重新叠加并发生干涉。

2.1.2 薄膜干涉和迈克尔逊干涉仪

性质 2.4 等厚干涉光程差

一束光从空气射入厚度为 h 的薄膜，其折射角为 i ，则该束光在薄膜上下反射的两束光光程差为

$$\Delta = 2nh \cos i$$

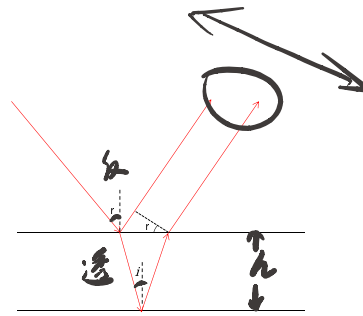


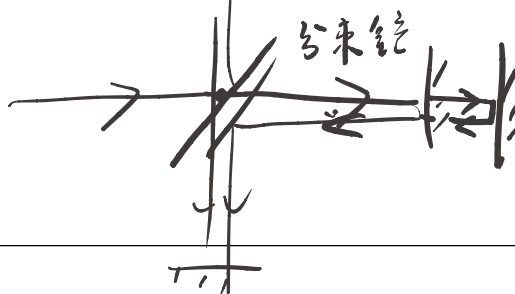
图 2-1 等厚干涉光路图

证明. 由折射定律 $\sin r = n \sin i$ ，而上束光多走了 $x_1 = h \cdot 2 \tan i \cdot \sin r$ ，下束光多走了 $x_2 = n \cdot \frac{2h}{\cos i}$ ，则光程差计算为

$$\begin{aligned} \Delta &= \frac{2nh}{\cos i} - 2h \tan i \sin r = 2h \left(\frac{n}{\cos i} - \frac{\sin i \cdot \sin r}{\cos i} \right) \\ &= 2h \left(\frac{n}{\cos i} - \frac{\sin i \cdot n \sin i}{\cos i} \right) = 2nh \frac{1 - \sin^2 i}{\cos i} = 2nh \cos i \end{aligned}$$

□





性质 2.5 迈克尔逊干涉仪光程差

迈克尔逊干涉仪的结构类似“麻将”局，东西南北方都要经过，其光程差为长度差的两倍

$$\Delta = 2(l_1 - l_2)$$

2.2 衍射

- ▶ 菲涅尔衍射 (近场衍射): 光源或观察屏到衍射屏的距离为**有限**的衍射。
- ▶ 夫琅禾费衍射 (远场衍射): 光源和观察屏到衍射屏的距离均为**无限**的衍射。

2.2.1 半波带法

▶ 夫琅禾费单缝衍射的半波带法

把单缝分割成一系列条带，相邻条带之间的光程逐个相差半个波长，称为半波带。相邻半波带贡献的复振幅相位差为 π ，在图示中表现为相邻矢量， A_k 和 A_{k+1} 向。容易知道，每条半波带的贡献相等，不妨记作 $A_1 = A_2 = \dots = A_k = A$

当半波带总数为奇数时， $A_{total} = A$ ，偶数时， $A_{total} = 0$

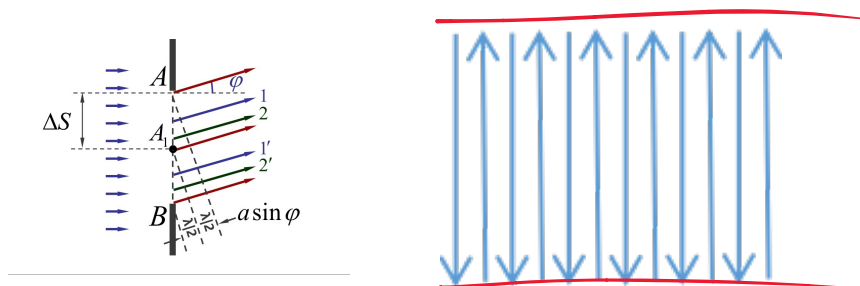


图 2-2 夫琅禾费单缝衍射的半波带法图例

▶ 菲涅尔圆孔衍射的半波带法

波前分割为一系列环形带，相邻环形带到像点的距离逐个相差半个波长，称为半波带。相邻半波带贡献的复振幅相位差为 π ，在图示中表现为相邻矢量 A_k ，和 A_{k+1} 反向。

不同于单缝衍射，由于倾斜因子影响，每条半波带的贡献，逐渐减小 $\lim_{k \rightarrow \infty} A_K = 0$

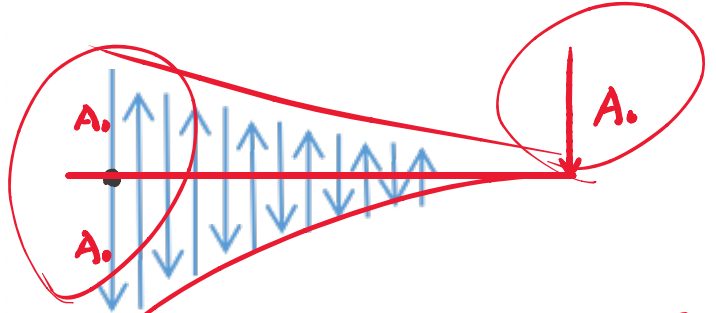
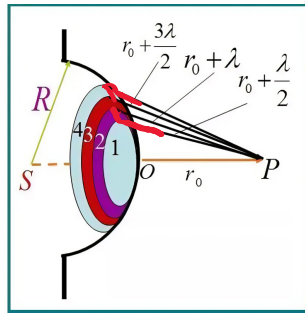
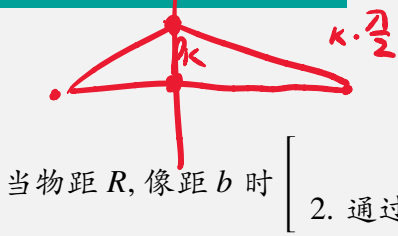


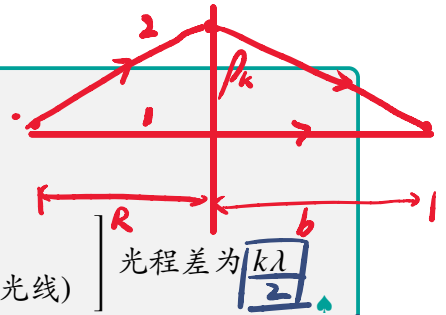
图 2-3 菲涅尔圆孔衍射的半波带法图例

性质 2.6 菲涅尔波带片



$$\frac{1}{R} + \frac{1}{b} = \frac{k\lambda}{\rho_k^2}$$

1. 通过 ρ_k 的光线
2. 通过 $\rho_0 = 0$ 的光线 (与光轴重合的光线)



例 2.7 单色平面光波波长 5000 \AA , 正入射到如下图所示的衍射屏上, $r_1 = \sqrt{2} \text{ mm}$, $r_2 = 1 \text{ mm}$, 轴上观察点离衍射屏 2 m , 计算观察点处的振幅和强度 (用 A_0 和 I_0 表示)。

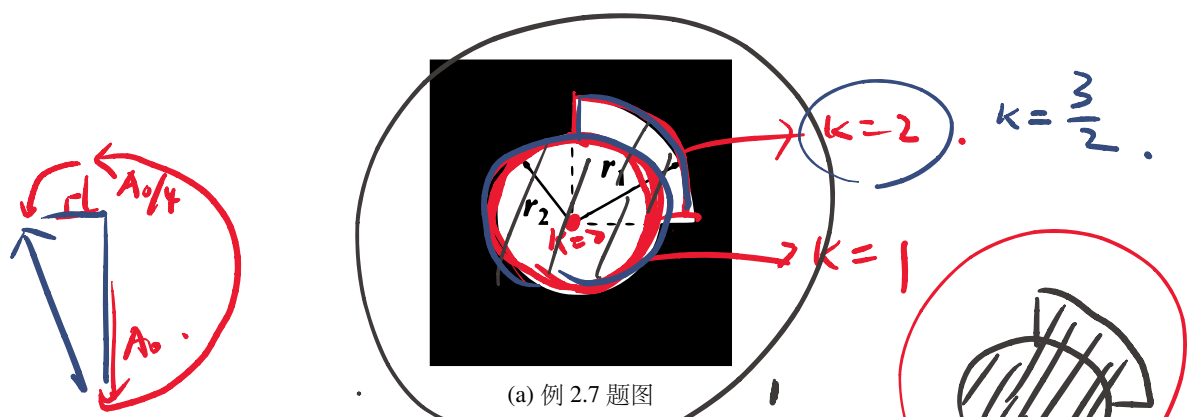
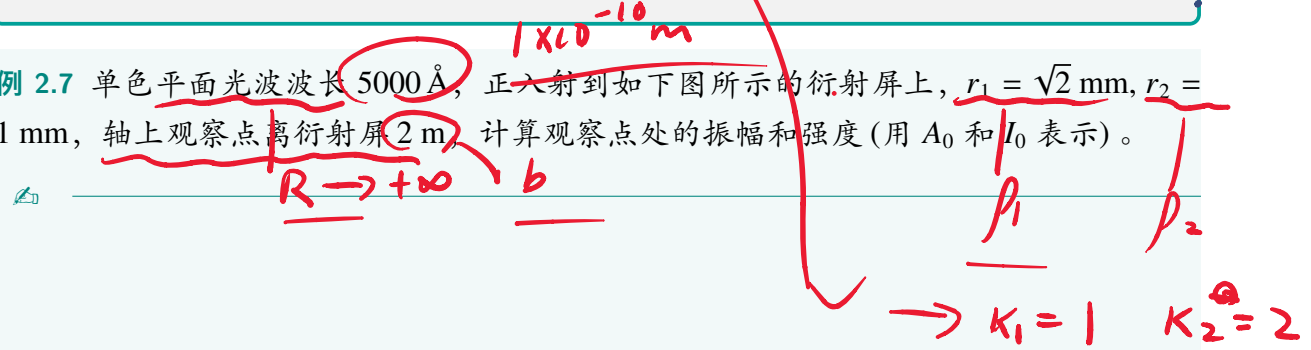


图 2-4 半波带法的具体例子

$A_0^2 = I_0$
 $(\frac{3}{2}A_0)^2 = 2.25 I_0$
 $(\frac{1}{2}A_0)^2 = \frac{1}{4} I_0$
 $1 + 2 = 0$
 $1 + 2 = \text{自由}$
 $\frac{3}{2}A_0 \uparrow$, $-\frac{1}{2}A_0 \downarrow$, $A_0 \uparrow$



2.2.2 振幅矢量法

► 夫琅禾费单缝衍射的振幅矢量法

振幅矢量法不要求 $\sin \varphi = k \frac{\lambda}{2}$, 可以视作半波带法的细化 *i.e.* 普适版本。具体说来, 它将单缝分割成 $dx \rightarrow 0$ 的微元, 相位差 $d\theta = \frac{2\pi}{\lambda} dx \sin \varphi$, 于是总相位差

$$\alpha = \frac{2\pi}{\lambda} a \sin \varphi$$

因此, 若将 $\varphi = 0 \equiv \theta$ 时的振幅记作 A_0 , 从而绘制矢量图得到

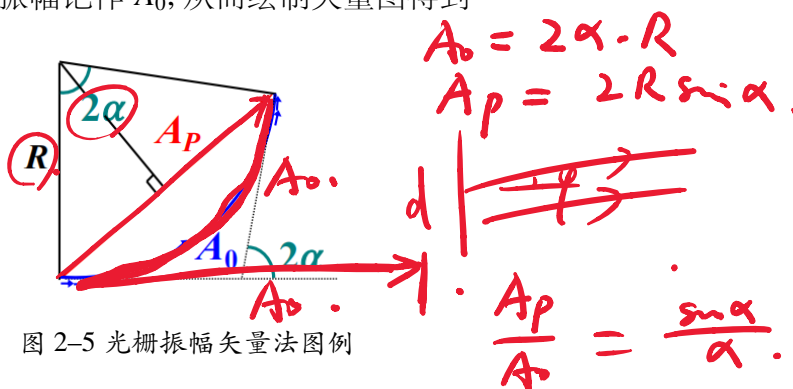


图 2-5 光栅振幅矢量法图例

性质 2.8 单缝衍射因子

在单缝衍射中, 定义 $\alpha = \frac{\pi a \sin \theta}{\lambda}$, 则振幅和光强分布如下

$$A_\varphi = \left(\frac{\sin \alpha}{\alpha} \right) A_0 \Rightarrow I_\theta = \left(\frac{\sin \alpha}{\alpha} \right)^2 I_0$$

► 菲涅尔圆孔衍射的振幅矢量法

定理 2.9 菲涅尔衍射公式

$$\tilde{U}(P) = K \iint_{\Sigma} F(\theta_0, \theta) \frac{e^{ikr}}{r} \tilde{U}_0(Q) d\Sigma$$

F : 倾斜因子 $\frac{e^{ikr}}{r}$: 距离因子 $\tilde{U}_0(Q) d\Sigma$: 次波源强度

当 Σ 代表点波源产生的球面波波前, $\tilde{U}_0(Q)$ 为常量, $\frac{d\Sigma}{r} \propto dr$, 故上式可写作

$$\tilde{U}(P) = C \int_{\Sigma} e^{ik(r-r_0)} F(\theta_0, \theta) dr$$

由于 r 变化时 $e^{ik(r-r_0)}$ 变化较快, $F(\theta_0\theta)$ 变化较慢, 所以我们先忽略 $F(\theta_0\theta)$ 的变化, 此时

$$\tilde{U}(P) = C' \int_{\Sigma} e^{ik(r-r_0)} dr$$

这一积分可以用复平面上的矢量图来表示。

至此, 与夫琅禾费单缝衍射的振幅矢量法别无二致。接下来考虑倾斜因子, 随着 r 的增大 *i.e.* 倾角的增倾斜因子 $F \rightarrow 0$, 于是图中半径 $R \rightarrow 0$, 形成菲涅尔螺线。可以发现若将每个半圆用其直径来代替, 则退化成半波带法。

2.2.3 多缝干涉和艾里斑

若光栅缝间距为 d , 则缝间相位差

$$2\beta = \delta = \frac{2\pi}{\lambda} d \sin \varphi$$

Thus, 若将单缝振幅记作 A_1 , 矢量图如下

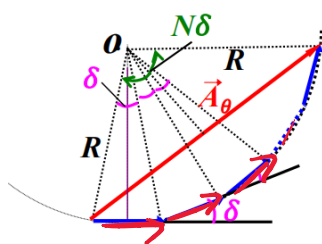


图 2-6 菲涅尔圆孔衍射的振幅矢量法图例

$$A_{\varphi} = \left(\frac{\sin N\beta}{\sin \beta} \right) A_1 \Rightarrow I_{\varphi} = \left(\frac{\sin N\beta}{\sin \beta} \right)^2 I_1$$

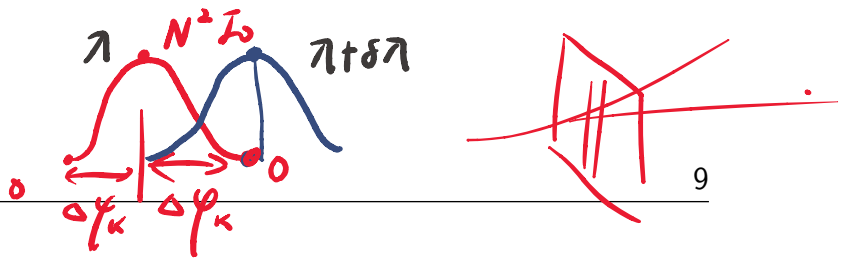
这正是光栅的缝间干涉因子。于是

性质 2.10 光栅衍射因子

在光栅衍射中, 定义 $\alpha = \frac{\pi a \sin \varphi}{\lambda} \beta = \frac{\pi d \sin \varphi}{\lambda}$, 则振幅和光强分布如下

$$A_{\varphi} = \left(\frac{\sin N\beta}{\sin \beta} \right) \left(\frac{\sin \alpha}{\alpha} \right) A_0 \Rightarrow I_{\varphi} = \left(\frac{\sin N\beta}{\sin \beta} \right)^2 \left(\frac{\sin \alpha}{\alpha} \right)^2 I_0$$

~~$\frac{\sin \alpha}{\alpha}$~~ $\alpha = \frac{\pi d \sin \varphi}{\lambda}$ \uparrow

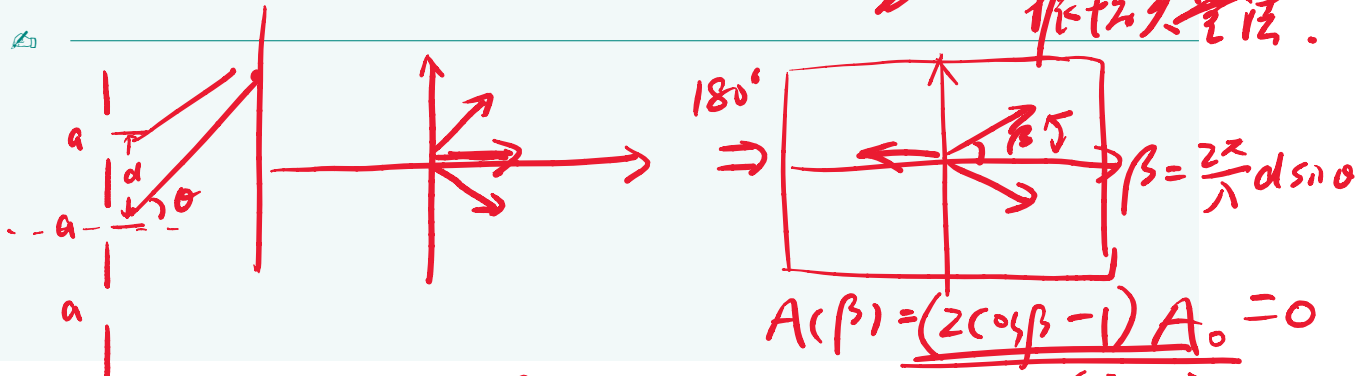


定义 2.11 光栅本领

- ▶ k 级主极大条件: $\beta_k = k\pi \Leftrightarrow d \sin \varphi_k = k\lambda$ (微分: $d \cos \varphi_k \delta \varphi_k = \delta(k\lambda)$)
- ▶ k 级主极大半角宽: $\Delta \beta_k = \frac{\pi}{N} \Leftrightarrow d \cos \varphi_k \Delta \varphi_k = \frac{\lambda}{N} \Leftrightarrow \Delta \varphi_k = \frac{\lambda}{Nd \cos \varphi_k}$
- ▶ 分辨本领: $d \sin(\varphi_k \pm \Delta \varphi_k) = k(\lambda \pm \delta \lambda) \Leftrightarrow d \cos \varphi_k \Delta \varphi_k = k \delta \lambda = \frac{\lambda}{N} \Leftrightarrow R = \frac{\lambda}{\delta \lambda} = k$
- ▶ 角色散本领: $D_\theta \equiv \frac{\delta \varphi_k}{\delta \lambda} = \frac{k}{d \cos \theta_k}$
- ▶ 线色散本领: $D_l = (f) \cdot D_\theta = \frac{kf}{d \cos \theta_k}$

例 2.12 一个三狭缝衍射屏, 缝宽均为 a , 彼此间距为 d , 中间缝盖有可以引起 180° 相位改变的滤光片, 波长为 λ 的单色光正入射, 计算下列各种情况下的衍射角

- (1) 第一衍射极小;
- (2) 第一干涉极小;
- (3) 第一干涉极大.



性质 2.13 艾里斑

艾里斑是点光源通过理想透镜成像时, 由于绕射而在焦点处形成的光斑, 其最小分辨角以及分辨本领分别公式为:

$$\delta \theta = \theta_1 \approx 1.22 \frac{\lambda}{D}, R \equiv \frac{1}{\delta \theta} = \frac{D}{1.22 \lambda}$$

2.3 偏振

2.3.1 菲涅尔反射折射公式

斯托克斯公式、两个光路图推导公式定性推导、半波损失、全反射、隐失波的解释

(1) $\frac{2a \sin \theta}{\lambda} = z \Rightarrow \theta = a \pi \sin(\frac{\Delta}{a}) \in [-1, 1]$

(2) $\frac{\lambda}{d} \quad | -34 | \text{ max}$

(3) $\beta = z \Rightarrow \sin \theta = \frac{\Delta}{2a}$

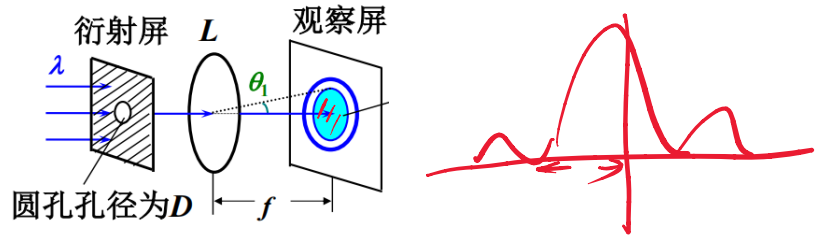


图 2-7 艾里斑示意图

性质 2.14 斯托克斯倒逆关系

如下图所示，设光从介质 A 传播到介质 B 的反射系数和透射系数分别为 r, t ，从介质 B 到介质 A 的反射系数和透射为 r', t' ，以下关系式成立（四个系数均为复数）

$$\begin{cases} r' = -r \\ r^2 + tt' = 1 \end{cases}$$

证明。 如图所示，由于光路可逆，将反射光和透射光按照原路照射返回，对应振幅不变即可。 □

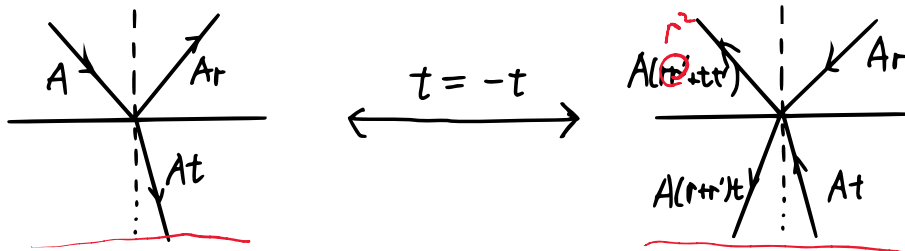


图 2-8 斯托克斯倒逆关系示意图

性质 2.15 菲涅尔公式

光在两种不同折射率的介质中传播时，其反射光和折射光在垂直平面和平行平面分量（ p 光和 s 光）对应系数如下：

$$\begin{cases} r_s = \frac{n_1 \cos i_1 - n_2 \cos i_2}{n_1 \cos i_1 + n_2 \cos i_2} & t_s = \frac{2n_1 \cos i_1}{n_1 \cos i_1 + n_2 \cos i_2} \\ r_p = \frac{n_2 \cos i_1 - n_1 \cos i_2}{n_1 \cos i_2 + n_2 \cos i_1} & t_p = \frac{2n_1 \cos i_1}{n_1 \cos i_2 + n_2 \cos i_1} \end{cases}$$

$r_p > 0$

证明。 该公式推导需要运用到电磁场的边界条件，此处从略，可点击[此链接](#)查看。 □

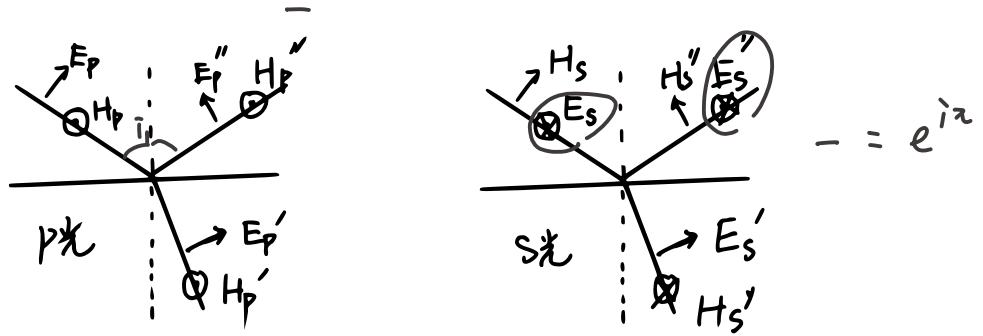


图 2-9 菲涅尔公式示意图

性质 2.16 正入射情形

当 $i_1 = i_2 = 0$ 时, $n_2 > n_1$

$r_s < 0$, E_s'' 与 E_s 正方向相同

$r_p > 0$, E_p'' 与 E_p 正方向相反, 产生严格的半波损失

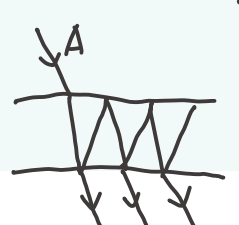
注 2.17. 《光学》教材对于全反射情况相位变化公式推导主要是求复数幅角 $\arg \frac{A - Bi}{A + Bi} = -2 \arctan \left(\frac{B}{A} \right)$

$$|\delta_p| = 2 \arctan \frac{n_1 \sqrt{\left(\frac{n_1}{n_2}\right)^2 \sin^2 i_1 - 1}}{\cos i_1}, |\delta_s| = 2 \arctan \frac{n_2 \sqrt{\left(\frac{n_1}{n_2}\right)^2 \sin^2 i_1 - 1}}{\cos i_1}$$

例 2.18 s 光以 θ 角从折射率 n_1 介质入射厚度为 d 、折射率为 n_2 的玻璃平板后回到 n_1 介质 ($n_2 > n_1$), 求以下两种情况的能量透射率:

- (1) d 很小, 相邻出射光束间仍有相干性;
- (2) d 很大, 相邻出射光束间无相干性。(提示: 类比法布里-珀罗干涉仪)

① $T = \frac{1}{1 + \frac{(1-R)^2}{4R \cos^2 \frac{\delta}{2}}}$ $R = r^2 = \left(\frac{n_1 \cos i_1 - n_2 \cos t_1}{n_1 \cos i_1 + n_2 \cos t_1} \right)^2$

② 

$$(Ar)^2 (Ar^2 t)^2 (Ar^4 t^2)^2 \dots$$

$$\frac{A^2 (t t')^2}{1 - (r^2)^2} = \frac{A^2 (1 - r^2)^2}{1 - r^4} = \frac{A^2 (1 - R)^2}{1 - R^2} = \frac{A^2 (1 - R)}{1 + R}$$

2.3.2 双折射和 $\frac{\lambda}{4}$ 片

性质 2.19 光学介质

如下图所示，规定主截面为法线和光轴所在平面，o 光为偏振方向垂直主截面，e 光为偏振方向平行主截面：

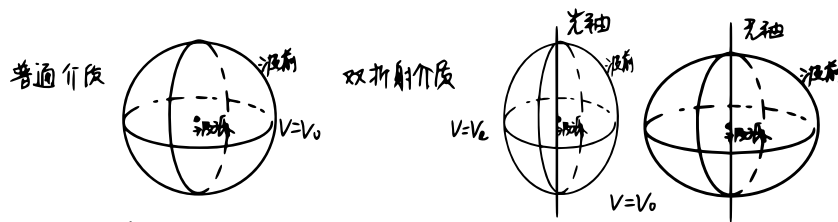
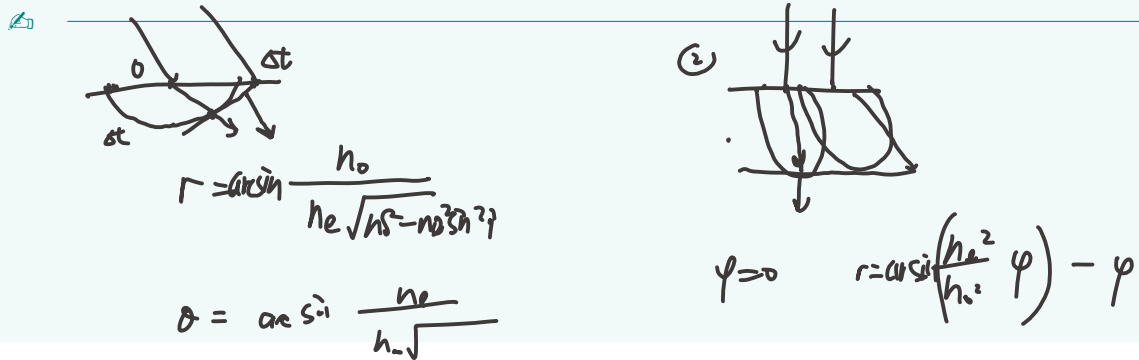


图 2-10 普通介质和光学介质示意图

例 2.20 求以下两种情况的折射角 r 和波矢与法线夹角 θ (入射光在主截面内)

- (1) 入射角为 i ，光轴平行法线；
- (2) 入射光平行法线，光轴与法线夹角为 φ 。



性质 2.21 双折射应用

以下三种棱镜均使用了 o 光和 e 光双折射性质：

性质 2.22 $\frac{\lambda}{4}$ 片

对下图所示波晶片，o 光、e 光在通过波晶片后产生相位差，其满足

$$\Delta = \frac{2\pi}{\lambda} (n_o - n_e) d$$

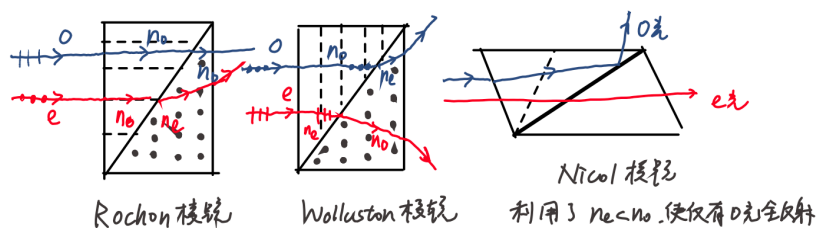
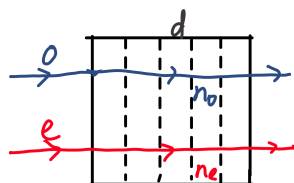


图 2-11 Rochon 棱镜、Wollaston 棱镜、Nicol 棱镜示意图

当 $(n_o - n_e)d = \frac{\lambda}{4}$ 时, $\Delta = \frac{\pi}{2}$, 此时波片可以进行线偏振和圆偏振间的转化。

图 2-12 $\frac{\lambda}{4}$ 片示意图

性质 2.23 琼斯矩阵初步

波晶片不同位置对应变换如下

$$\text{波晶片以光轴方向为 } x \text{ 轴: } \begin{bmatrix} A'_x \\ A'_y \end{bmatrix} = \begin{bmatrix} 1 & 0 \\ 0 & e^{i\Delta} \end{bmatrix} \begin{bmatrix} A_x \\ A_y \end{bmatrix}$$

$$\text{波晶片以偏振方向为 } x \text{ 轴: } \begin{bmatrix} A'_x \\ A'_y \end{bmatrix} = \begin{bmatrix} 1 & 0 \\ 0 & 0 \end{bmatrix} \begin{bmatrix} A_x \\ A_y \end{bmatrix}$$

2.3.3 旋光性

定义 2.24 旋光性

当平面偏振光通过手性化合物溶液后, 偏振面的方向就被旋转了一个角度, 这种能使偏振面旋转的性能称为旋光性。其本质为存在手性, 则左右旋光与溶液中分子的作用方式不同。

例 2.25 令溶液左右旋折射率为 n_L, n_R , 计算波长为 λ 的线偏振光经过长度为 d 的溶液后对应的振幅变换矩阵。

2.4 色散

2.4.1 相速度、群速度

性质 2.26 相速度和群速度关系

只要有色散, 相速度和群速度就不相等, 其满足以下表达式:

$$n_g = n - \lambda \frac{dn}{d\lambda} \quad \text{or} \quad v_g = v_p + k \frac{dv_p}{dk}$$

证明. 群速度定义 $v_g = \frac{d\omega}{dk}$ 利用 $k = \frac{\omega}{v_p} = \frac{n\omega}{c} = \frac{2\pi n}{\lambda}$, λ 为真空波长, 得到 $n_g = n - \lambda \frac{dn}{d\lambda}$ or $v_g = v_p + k \frac{dv_p}{dk}$ 。若 $v_g = \text{Const}$, 此时 $\frac{dn}{d\lambda} = 0$, 即 $n = \text{const}$ 。 \square

例 2.27 汞灯的双黄线波长为 λ 和 $\lambda + \Delta\lambda$ ($\frac{\Delta\lambda}{\lambda} \ll 1$)。在最小偏向角附近入射到一个顶角为 α 的三棱镜上, 出射时两线角间距为 δ , 棱镜对汞双黄线的平均折射率为 n , 已知 $\frac{\delta\lambda}{\Delta\lambda}$ 不是很小:

(1) 求最小偏向角;

(2) 求棱镜对汞灯双黄线的色散率 $\frac{dn}{d\lambda}$;

(3) 若一束波长为 λ 的黄光脉冲入射到与三棱镜材质相同的玻璃片上, 玻璃片厚度为 d , 求黄光脉冲通过玻璃片所需要的时间 t 。

$$\textcircled{1} \quad \varphi_{\min} = 2\alpha \sin^{-1} \left(\frac{n \sin \frac{\alpha}{2}}{2} \right) - \alpha$$

$$\textcircled{2} \quad d\lambda = \Delta\lambda \quad \alpha_{\min} = 0 \quad \delta \quad \frac{dn}{d\lambda}$$

$$\textcircled{3} \quad n_g = n_p - \lambda \frac{dn}{d\lambda}$$

$$v_g = \frac{c}{n_g}$$

2.4.2 柯西公式

性质 2.28 柯西公式

光在透明材质下，其折射率和波长之间满足经验公式：

$$n(\lambda) = A + \frac{B}{\lambda^2} + \frac{C}{\lambda^4} + \dots$$

证明. 假设电子在库仑力的束缚下，在外电场中运动（光是电磁波），其运动方程和弹簧振子在余弦外力作用的运动方程类似，相应系数均为 ω^2 的函数，严格计算有 $n(\omega) = 1 - \frac{Ne^2}{2\varepsilon_0 m} \sum_j \frac{f_j (\omega^2 - \omega_j^2)}{(\omega^2 - \omega_j^2)^2 + \omega^2 \gamma_j^2}$ ，将其泰勒展开可得上述关系，一般取前两项或者三项就能达到很高精度。 □

3

量子物理

3.1 康普顿散射

性质 3.1 康普顿散射公式


康普顿散射是指当 X 射线或伽马射线的光子跟物质相互作用，因失去能量而导致波长变长的现象，其波长变化量公式如下

$$\lambda_f - \lambda_i = \frac{h}{m_e c} (1 - \cos \theta)$$

证明. 其中 \underline{P} 表示四维动量, i/f 代表 initial/final, θ 是光子偏转角 (能、动量守恒也能做)

$$\begin{aligned} \underline{P}_{\gamma i} + \underline{P}_{ei} &= \underline{P}_{\gamma f} + \underline{P}_{ef} \Rightarrow \underline{P}_{\gamma i} + \underline{P}_{ei} - \underline{P}_{\gamma f} = \underline{P}_{ef} \Rightarrow (\underline{P}_{\gamma i} + \underline{P}_{ei} - \underline{P}_{\gamma f})^2 = (\underline{P}_{ef})^2 \\ &\Rightarrow 0 + (-m_e c^2) + 0 + 2 \left(-\underline{P}_{\gamma i} \cdot \underline{P}_{\gamma f} + \underline{P}_{ei} \cdot (\underline{P}_{\gamma i} - \underline{P}_{\gamma f}) \right) = -m_e c^2 \\ &\Rightarrow \underline{P}_{\gamma i} \cdot \underline{P}_{\gamma f} = \underline{P}_{ei} \cdot (\underline{P}_{\gamma i} - \underline{P}_{\gamma f}) \Rightarrow \frac{h^2}{\lambda_i \lambda_f} (\cos \theta - 1) = -m_e c \left(\frac{h}{\lambda_i} - \frac{h}{\lambda_f} \right) \end{aligned}$$

□

 **注 3.2.** 应用康普顿散射公式和能量守恒，可以快速得到电子的动能和散射角度

$$\begin{cases} E_k = \frac{hc}{\lambda_0} - \frac{hc}{\lambda_0 + \Delta\lambda} = \frac{\frac{h^2 c^2}{m_e} (1 - \cos \theta)}{\lambda_0 (\lambda_0 + \frac{hc}{m_e} (1 - \cos \theta))} \\ \tan \varphi = \frac{\lambda_0}{\frac{hc}{m_e} + \lambda_0} \frac{\sin \theta}{1 - \cos \theta} = \frac{\lambda_0}{\frac{hc}{m_e} + \lambda_0} \cot \left(\frac{\theta}{2} \right) \end{cases}$$

3.2 普朗克黑体辐射

$$\left. \begin{array}{l} \text{瑞利 - 金斯公式 (长波): } \frac{8\pi\nu^2}{c^3} k_B T \\ \text{维恩公式 (短波): } \frac{8\pi\nu^2}{c^3} \cdot \frac{h\nu}{e^{h\nu/k_B T}} \end{array} \right\} \begin{array}{l} \xrightarrow{\text{普朗克凑出}} \\ \xrightarrow{\text{爱因斯坦受激辐射理论}} \end{array} \text{普朗克公式: } \frac{8\pi\nu^2}{c^3} \cdot \frac{h\nu}{e^{h\nu/k_B T} - 1}$$

3.3 波函数、算符和对易性

定义 3.3 波函数统计解释和归一性

$|\Psi(\vec{r}, t)|^2 = \Psi^*(\vec{r}, t) \times \Psi(\vec{r}, t)$ 代表 t 时刻, \vec{r} 附近的概率密度。

$$\text{概率的归一性: } 1 = \int_{\text{全空间}} dP = \int_{\text{全空间}} |\Psi(\vec{r}, t)|^2 dP$$

定义 3.4 算符的引入

$$\text{对自由粒子} \begin{cases} \Psi(\vec{r}, t) = \Psi_0 e^{i(\vec{k} \cdot \vec{r} - \omega t)} \xrightarrow{\text{代入 } \vec{p} = \hbar \vec{k}, E = \hbar \omega} \Psi_0 e^{-\frac{i}{\hbar} (Et - \vec{p} \cdot \vec{r})} \\ -i\hbar \frac{\partial}{\partial x} \Psi(\vec{r}, t) = -i\hbar \Psi_0 e^{-\frac{i}{\hbar} (Et - \vec{p} \cdot \vec{r})} \frac{\partial}{\partial x} \left(-\frac{i}{\hbar} (Et - \vec{p} \cdot \vec{r}) \right) = p_x \Psi(\vec{r}, t) \end{cases}$$

因此, 我们把 $-i\hbar \frac{\partial}{\partial x}$ 称作 x 方向的动量算符, 记作 $\hat{p}_x = -i\hbar \frac{\partial}{\partial x}$

$$\text{同样的, 我们有 } \hat{\boldsymbol{p}} = \begin{bmatrix} \hat{p}_x \\ \hat{p}_y \\ \hat{p}_z \end{bmatrix} = \begin{bmatrix} -i\hbar \frac{\partial}{\partial x} \\ -i\hbar \frac{\partial}{\partial y} \\ -i\hbar \frac{\partial}{\partial z} \end{bmatrix} = -i\hbar \nabla \text{ 称作动量算符}$$

需要指出的是, 虽然我们选择从自由粒子导出, 但这些算符对于不同的波函数是普适的。对于其它的算符, 下面给出一些例子

例 3.5 尝试给出非相对论动能算符、坐标表象下的系统总能量算符、轨道角动量算符、轨道角动量平方算符。

定义 3.6 算符性质

- ▶ 标量 A 与 B : $AB = BA$
- ▶ 矢量 \vec{A} 与 \vec{B} : $\vec{A} \cdot \vec{B} = \vec{B} \cdot \vec{A}$ $\vec{A} \times \vec{B} = -\vec{B} \times \vec{A}$
- ▶ 算符 \hat{p} 与 \hat{x} 的关系

$$\hat{p}_x[x\psi(x)] = -i\hbar \frac{\partial}{\partial x}[x\psi(x)] = -i\hbar\psi(x) - i\hbar x \frac{\partial}{\partial x}\psi(x) = -i\hbar\psi(x) + x\hat{p}_x\psi(x)$$

由于波函数 $\psi(x)$ 任意, 可以略去不写, 记作 $\hat{p}_x\hat{x} = -i\hbar + \hat{x}\hat{p}_x \Leftrightarrow \hat{p}_x\hat{x} - \hat{x}\hat{p}_x = -i\hbar$ 我们将用 $[\hat{p}_x, \hat{x}]$ 来表示 $\hat{p}_x\hat{x} - \hat{x}\hat{p}_x$, 则对易关系表示为: $[\hat{p}_x, \hat{x}] = -i\hbar$ 。

定理 3.7 不确定关系

理论上可以证明，若用 σ_A 表达物理量 A 的标准差， \hat{A} 表示 A 对应的算符，则有

$$\sigma_A \sigma_B \geq \left| \frac{\langle [\hat{A}, \hat{B}] \rangle}{2i} \right|$$



例 3.8 取 A, B 为 p_x, x ，代入定理 3.6 推导测不准原理。

